

## تحلیل و پنهانه‌بندی ریسک وقوع یخندهان و سرماهای تشعشعی، جبهه‌ای و مختلط در گستره ایران

جواد بذرافشان<sup>۱\*</sup>، جابر رحیمی<sup>۲</sup>

تاریخ دریافت: ۱۳۹۲/۰۸/۲۷

تاریخ پذیرش: ۱۳۹۳/۰۵/۲۹

### چکیده

پدیده یخندهان همه ساله خسارات گستره‌های را در زمینه‌های مختلف تولید بخش کشاورزی وارد می‌سازد. بنابراین یکی از پارامترهای مهم در اجرای سیاست‌های بیمه محصولات کشاورزی کمی‌سازی ریسک خطر وقوع یخندهان می‌باشد. در این پژوهش، با استفاده از داده‌های هواشناسی روزانه ۵۱ ایستگاه هواشناسی کشور (دوره آماری ۲۰۰۹-۱۹۵۱) یک الگوریتم سلسله مراتبی برای تشخیص یخندهان‌های تابشی و فرارفتی را ارائه شد. سپس، درصد مواقعی از سال (بر مبنای داده‌های سه ساعتی) که یخندهان اتفاق افتاده بود (با دو آستانه دمایی ۴ و صفر درجه سلسیوس) تعیین و در سه گروه یخندهان تابشی، فرارفتی و مختلط تفکیک گردید. این درصد که ریسک سرما/یخندهان نامیده شده است، از نظر وابستگی به مشخصات جغرافیایی (طول، عرض جغرافیایی و ارتفاع) مورد بررسی قرار گرفت. در نهایت، نقشه پنهانه‌بندی یخندهان‌ها در گستره کشور ترسیم گردید. بررسی نقشه‌های ریسک سرما/یخندهان نشان داد که ریسک وقوع یخندهان‌های مختلط و تابشی بیشتر از یخندهان‌های فرارفتی در گستره کشور است. همچنین، مشخص شد که بیشترین احتمال وقوع یخندهان‌های خسارت‌زای تابشی با آستانه‌های دمایی ۴ و صفر درجه سلسیوس، به ترتیب، در ایستگاه‌های شهرکرد (۱۰/۶۲ درصد) و کوهرنگ (۷/۲۳ درصد) و از آن یخندهان‌های فرارفتی با آستانه‌های دمایی ۴ و صفر درجه سلسیوس، در ایستگاه اردبیل به ترتیب با احتمال ۷/۲۲ درصد و ۴/۰۷ درصد اتفاق افتاده است.

**واژه‌های کلیدی:** یخندهان تابشی، یخندهان فرارفتی، کمی‌سازی ریسک، ایران

گذشته صندوق بیمه محصولات کشاورزی ایران که قانوناً مجری سیاست‌های مدیریتی در بخش کشاورزی است، ارقام غرامت پرداخت شده به کشاورزان برای عامل سرما و یخندهان از ۶۱۳/۲۸۹ میلیون ریال در سال زراعی ۸۵-۸۶ تا ۱/۳۵۴/۳۸۶ میلیون ریال در سال زراعی ۸۳-۸۴ متغیر بوده است. طبق تعریف، یخندهان به شرایطی اطلاق می‌شود که در آن دمای سطح زمین و اشیائی که در مجاورت با آن هستند به کمتر از صفر درجه سلسیوس برسد. با این وجود متخصصان هواشناسی کشاورزی بر این باورند که یخندهان‌های کشاورزی از آستانه بالاتری آغاز می‌شود، به طوری که اغلب آستانه ۴ درجه سلسیوس را به عنوان نقطه شروع خسارت یخندهان به بافت‌های گیاهی در نظر می‌گیرند (تام و شاو<sup>۳</sup>، ۱۹۵۸؛ استرلینگ<sup>۱</sup>، ۲۰۰۲). یخندهان‌ها را

### مقدمه

سرما و یخندهان‌های شدید برای بسیاری از گیاهان زراعی و باغی نتایج زیان‌بار و نابود‌کننده‌ای را در پی دارد، به طوری که در برخی سال‌ها میلیارد‌ها ریال خسارت به باغداران، زراعین و در نهایت منافع ملی کشور وارد می‌شود. برای نمونه، بین سال‌های زراعی ۱۳۷۸ تا ۱۳۷۳ حدود ۶۵۷۷۴ هکتار از زمین‌های زیر کشت تحت تأثیر خسارت ناشی از بلایای طبیعی قرار گرفته‌اند و این در حالی است که خسارت سرما٪ از این میزان را به خود اختصاص داده است (صدقی، ۱۳۷۸). طبق آمار ده سال

<sup>۱</sup> استادیار گروه مهندسی آبیاری و آبادانی، دانشگاه تهران.

<sup>۲</sup> دانشجوی دکتری هواشناسی کشاورزی، گروه مهندسی آبیاری و آبادانی، دانشگاه تهران.

<sup>۳</sup> Thom and Show (nobisnndeh.mse@ut.ac.ir)

تاریخ‌های آغاز و خاتمه یخبدان، سرددترین دما و ریسک وقوع دوره‌های سرد را در فلوریدای مرکزی بررسی، و توزیع احتمالی آن را پیش‌بینی نمود. فرانسیس<sup>۱۰</sup> و همکاران (۱۹۹۹) با به کارگیری داده‌های ماهواره نوا و ۲۲ ایستگاه هواشناسی و با ارائه روشی جدید، نقشه ریسک یخبدان ناحیه آلتیپلانو بولیوی را تهیه کردند. تات و ژنگ<sup>۱۱</sup> (۲۰۰۳) با بهره‌گیری از داده‌های ماهواره‌ای ویژگی‌های یخبدان ناحیه اوتانگو در کشور نیوزلند را مورد بررسی قرار داده و نقشه‌های زمان آغاز و خاتمه یخبدان را با استفاده از سیستم اطلاعات جغرافیایی برای این ناحیه تهیه کردند. تراسمونته<sup>۱۲</sup> و همکاران (۲۰۰۸) به بررسی و تعیین خصوصیات مکانی و زمانی پدیده یخبدان از قبیل شدت، مدت، تواتر، طول دوره عاری از یخبدان و روند زمانی وقوع در کشور پرو پرداختند. بررسی مطالعات انجام شده در کشور نشان می‌دهد که اکثر این مطالعات در حیطه احتمال وقوع یخبدان بدون توجه به نوع آن (فرارفتی، تابشی یا مختلط) و صرفاً در مفهوم کلی یخبدان (دمای زیر صفر) و خسارت‌بار بودن یا نبودن آن انجام شده است. علاوه بر این، در معدهود تحقیقات نیز ریسک اولین یخبدان پاییزه و نوع آن و ریسک آخرين یخبدان بهاره و نوع آن مورد توجه قرار گرفته است. به عنوان مثال، هاشمی در سال ۱۳۴۸ سری‌های زمانی شروع و خاتمه یخبدان در تهران را برای چهار آستانه حرارتی تحلیلی نمود. علیزاده و همکاران (۱۳۷۳) وقوع یخبدان‌های زودرس و دیررس با شدت‌های مختلف را در استان خراسان بر اساس روش‌های احتمالی بررسی نمودند. سمعی و همکاران (۱۳۷۶) تاریخ شروع و خاتمه یخبدان‌ها در ۱۲ آستانه دمایی را مورد بررسی قرار دادند و ضمن ارائه احتمال وقوع یخبدان‌ها، مناسب‌ترین تاریخ کاشت را در نقاط مختلف با حداقل احتمال خسارات ناشی از یخبدان پیش‌بینی نمودند. کمالی (۱۳۸۰) نقشه‌های هم احتمال تاریخ رخداد اولین و آخرين یخبدان پاییزه و بهاره و طول دوره یخبدان را در کلیه ایستگاه‌های همدیدی کشور تهیه کرد. کمالی و نوخندان (۱۳۸۴) نیز توزیع زمانی و مکانی

می‌توان در گروه‌های مختلفی از قبیل فرارفتی (جبهه‌ای)، تابشی و مختلط تقسیم‌بندی نمود (کالمای<sup>۱۳</sup> و همکاران، ۱۹۹۲). محققان یخبدان فرارفتی را نتیجه انتقال یک توده هوا در مقیاس وسیعی توان با وزش باد می‌دانند و یخبدان تشبعشی را دارای منشاء آنتی سیکلونی و موقع آن را در داخل توده‌های وسیع و متجانس با هوای صاف و آرام همراه با وارونگی‌های دمایی می‌دانند (هوت<sup>۱۴</sup>، ۱۹۷۳). در یخبدان‌های مختلط، طی دوره یخبدان هر دو نوع یخبدان تابشی و فرارفتی متوالی مشاهده می‌شوند. در این وضعیت، یخبدان‌های تابشی به طور معمول پس از عبور یک جبهه سرد رخ می‌دهند. تفکیک یخبدان مختلط از سایر یخبدان‌ها بسیار مشکل می‌باشد اما انتظار می‌رود که اغلب در شب رخ دهنده (آهرنر<sup>۱۵</sup>، ۲۰۰۹). بررسی اسناد و مدارک علمی موجود نشان می‌دهد که توجه به پدیده یخبدان و آثار آن قدمت طولانی داشته آن چنان که توجه به انواع مختلف یخبدان و شرایط ایجاد آنها از اوایل قرن بیستم در مطالعات مختلف وجود داشته است. برای مثال، تروارت<sup>۱۶</sup> (۱۹۵۴) نقشه جهانی متوسط طول دوره بدون یخبدان را تهیه کرد. تام و شاو (۱۹۵۸) نحوه تحلیل و وارسی داده‌های یخبدان را ارائه نمودند. روزنبرگ و مایر<sup>۱۷</sup> در سال ۱۹۶۲ دریافتند که نوع یخبدان در برنامه‌ریزی اهداف کشاورزی مهم‌تر از میانگین تاریخ یک دمای حداقل خاص است. این محققین پیشنهاد کردند که تاریخ وقوع اولین و آخرین یخبدان به تفکیک نوع یخبدان (تابشی یا فرارفتی) براساس آمار و اطلاعات اقلیمی تعیین شود. از اولین تحلیل‌های مکانی یخبدان می‌توان به مطالعه کاپریو<sup>۱۸</sup> (۱۹۶۱) اشاره نمود. وی نحوه تهیه و بررسی نقشه‌های یخبدان را ارائه کرده است. اشمیدلین و دیزیر<sup>۱۹</sup> (۱۹۸۶) در یک تحلیل آماری، خطرات یخبدان را برای نیویورک بررسی نمودند. ویلن<sup>۲۰</sup> (۱۹۸۸) با تحلیل احتمالاتی ویژگی‌های یخبدان،

<sup>۱</sup> Esterling

<sup>۲</sup> Kalma

<sup>۳</sup> Hewett

<sup>۴</sup> Ahrens

<sup>۵</sup> Trewartha

<sup>۶</sup> Rozenberg and Myers

<sup>۷</sup> Caprio

<sup>۸</sup> Schmidlin and Dethier

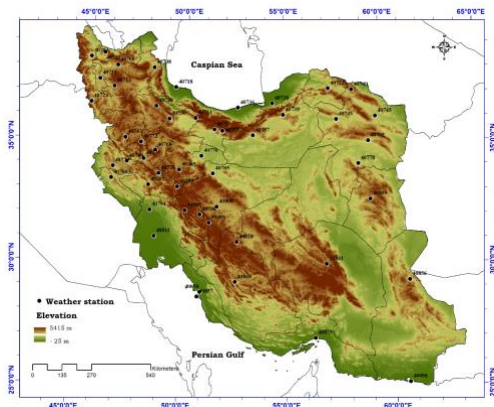
<sup>۹</sup> Waylen

<sup>۱۰</sup> François

<sup>۱۱</sup> Tait and Zheng

<sup>۱۲</sup> Trasmonte

(۱۹۵۱-۲۰۰۹) و معیارهایی چون وجود آمار طولانی مدت، نواقص کم آماری، استاندارد بودن ایستگاه هواشناسی و پراکنش مکانی مناسب استفاده شد. شکل ۱ پراکنش ایستگاه های مورد مطالعه را در ایران نمایش می دهد.



## شکل ۱- موقعیت مکانی شبکه ایستگاه‌های هواشناسی تحت بررسی در ایران

توزیع ارتفاعی ایستگاه‌های هوشمناسی مطالعاتی نیز ناهمگن است. در جدول ۱ کلاس‌های ارتفاعی ایستگاه‌های مطالعاتی درج شده است.

## جدول ۱- توزیع ارتفاعی ایستگاه‌های مورد مطالعه در سطح کشور

کلاس ارتفاقی (متر)	تعداد ایستگاه
۵۰>	۹
۵۰۰ - ۱۰۰۰	۵
۱۰۰۰ - ۱۵۰۰	۲۲
۱۵۰۰ - ۲۰۰۰	۹
>۲۰۰	۶

در پژوهش حاضر به منظور ارزیابی یخبدان‌های تابشی و فرارفتی در گستره کشور، روزهای مشترک آماری (از نیمه شب یک روز تا نیمه شب روز بعد) تعریف شد. همچنین، به دلیل کوچک بودن واحد زمانی ارزیابی یخبدان، از بازسازی و تکمیل خلاصهای آماری صرف‌نظر گردید. به هر حال، ارزیابی‌ها در گستره کشور با در نظر گرفتن روزهای مشترک، یعنی روزهایی که همه ایستگاه‌های تحت مطالعه دارای آمار ممی‌باشند، انجام شد.

پدیده یخندان را با استفاده از داده‌های ۱۱۹ ایستگاه هواشناسی سینوپتیک و بهره‌گیری از مدل رگرسیونی (بین متغیرهای مورد بررسی و ارتفاع و عرض جغرافیایی) مورد بررسی قرار دادند. ضیابی و همکاران (۱۳۸۵) در استان فارس، بر اساس داده‌های ۲۵ ایستگاه موجود اقدام به تهیه اطلس احتمال وقوع کمینه دمای استان نمودند. این محققین نشان دادند که هر چه عرض جغرافیایی ایستگاه کمتر شود، اولین یخندان‌ها دیرتر و آخرين یخندان‌ها زودتر اتفاق می‌افتد. از جمله مهم‌ترین و جدیدترین مطالعه انجام شده در این زمینه می‌توان به طرح ملی پنهان‌بندی هواشناسی کشاورزی ایران جهت بیمه در برابر خطرات خشکسالی، یخندان و باران‌های سیل آسا اشاره نمود (خلیلی، ۱۳۸۶). اگر بروز یخندان ناشی از تغییرات ماکروکلیمایی (یخندان فرارفتی) باشد مقابله با آن به علت گستردگی بودن سطح تأثیر و دوام طولانی آن دشوار خواهد بود. اما چنانچه بروز یخندان به علت تغییرات میکروکلیمایی (یخندان تابشی) باشد مقابله با آن تا حدود زیادی امکان-پذیر خواهد بود. این مساله به ویژه به هنگام تعیین سهم خسارت باغدار حائز اهمیت است و می‌توان با توجه به نوع یخندان اتفاق افتاده در صدهای متفاوتی خسارت به باغداران پرداخت کرد. هدف مقاله حاضر ارزیابی کمی ریسک اقلیمی یخندان‌های تابشی، فرارفتی و مختلط در گستره کشور و پنهان‌بندی آن به منظور استفاده در صنعت بیمه است.

مواد و روش‌ها

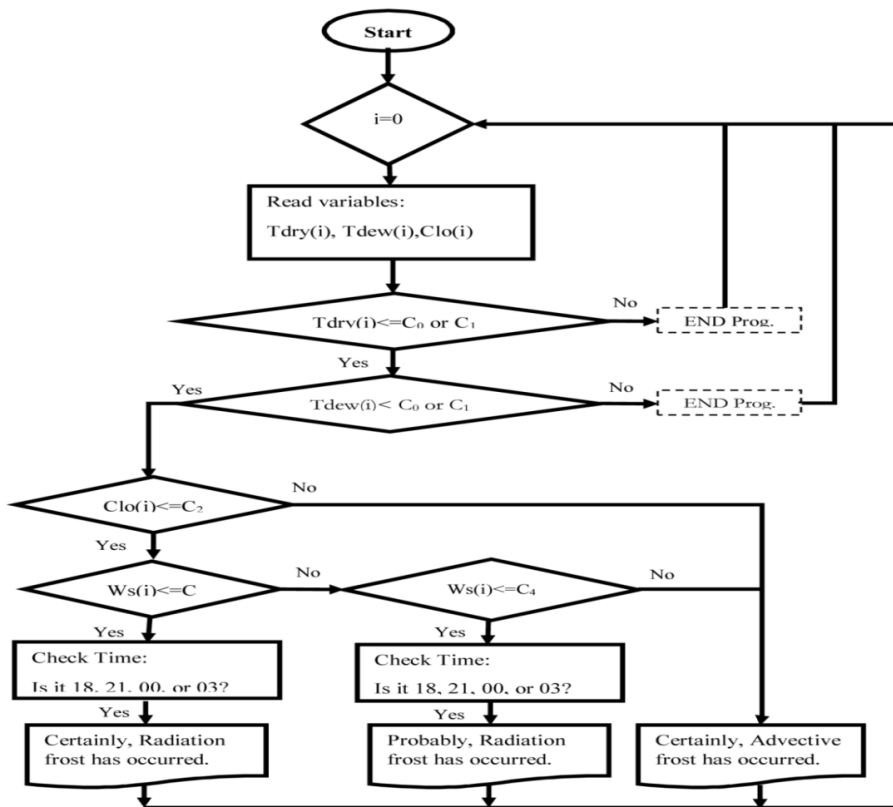
## شبکه ایستگاه‌های مطالعاتی و آماده‌سازی داده‌ها

ایران به عنوان منطقه مطالعاتی، کشوری است که بروز پدیده یخبندان و تکرار آن سبب زیان‌های متفاوتی بر بخش کشاورزی شده است. بررسی‌های اولیه نشان داد که به دلیل نیاز به اطلاعات هواشناسی در بازه‌های زمانی کوتاه‌تر از یک روز در مطالعه پدیده یخبندان، صرفاً می‌باشد به داده‌های ثبت شده در ایستگاه‌های سینوپتیک سازمان هواشناسی کشور در فواصل زمانی سه ساعتی اکتفا نمود. به همین دلیل از داده‌های دمای هوا، دمای نقطه شبنم، رطوبت نسبی، فشار بخار آب، ابرناکی، و سرعت باد مربوط به ۵۱ ایستگاه هواشناسی در ایران با حفظ دوره آماری مشترک ۵۹ سال

شنبم ممکن است وقوع یخیندان، صدمات جزئی تا نابودی کامل گیاهان را سبب شود. اگر شرط ۲ برقرار نباشد، واحد زمانی بعدی فراخوانده می‌شود. در غیر این صورت برنامه وارد شرط ۳ می‌شود. شرط ۳، میزان پوشش ابری (Clo) بر حسب Octa (هشتم) در هر واحد زمانی با آستانه  $C_2=2$  (یعنی حداقل ۲ قسمت از ۸ قسمت آسمان ابری باشد) مقایسه می‌شود. اگر  $Clo \leq C_2$  باشد، برنامه وارد مرحله چهارم می‌شود. شرط ۴، سرعت باد اندازه‌گیری شده در ایستگاه (ws) بر حسب knot با سرعت آستانه  $C_3=5\text{knot}$  مقایسه می‌شود. اگر شرط  $C_3 \leq ws$  بر قرار باشد و این وضعیت در یکی از ساعت شبانه (یعنی ۰۰، ۰۳، ۱۸، ۲۱) اتفاق بیفتند، قطعاً یخیندان از نوع تابشی است. به منظور افزایش دقیق در تعیین یخیندان‌های تابشی، به اندازه یک نات به آستانه  $C_4=6\text{knot}$  اضافه شده و آستانه جدید در نظر گرفته شد. چنانچه در یکی از ساعت شبانه، سرعت باد، بیشتر از آستانه  $C_3$  و کمتر از آستانه  $C_4$  باشد، مشروط بر اینکه در یک واحد زمانی قبل و یک واحد زمانی بعد از آن سرعت باد کمتر از ۵ نات و پوشش ابری کمتر از ۲ باشد، یخیندان از نوع تابشی در نظر گرفته می‌شود. در صورتی که شرط مذکور بر قرار نباشد یخیندان از نوع فرارفتشی است. در صورتی که یخیندان خسارت‌زا هم مشخصات یخیندان‌های تابشی و هم فرارفتشی را داشته باشد، اصطلاحاً از نوع مختلط تعریف می‌شود. به عنوان مثال، در مورد یک یخیندان خسارت‌زا ممکن است سرعت باد به اندازه کافی زیاد بوده، اما هوا کاملاً صاف باشد یا هوا آرام بوده اما ابرناکی از آستانه تعیین شده برای یخیندان‌های تابشی بزرگتر باشد. در حالت اول، وقوع چنین وضعیتی حاکی از فرارفت هواست. حالت دوم نیز به دنبال عبور جبهه جوی و استقرار یک توده هوای سرد اتفاق می‌افتد. نکته قابل بحث و توسعه در اینجا، در مورد شرط ۲ است. در این شرط از دمای نقطه شنبم استفاده شده است. در موقعی که مقداری برای Tdew گزارش نشده باشد می‌توان از روابط و فرمول‌های هوشناسی برای تخمین آن استفاده کرد.

## الگوریتم شناسایی یخیندان‌های خسارت‌زا تابشی، فرارفتشی و مختلط

دقیق‌ترین روش برای شناسایی و تمایز یخیندان‌های تابشی و فرارفتشی، استفاده از نقشه‌های سینوپتیکی ترازهای مختلف جو در ساعت مختلف شبانه‌روز است. به علت هزینه بسیار زیاد تهیه این نقشه‌ها و عدم دسترسی به نقشه‌های یک دوره تاریخی طولانی مدت در کشور، در این پژوهش از روش‌های آماری مبتنی بر احتمالات شرطی برای شناسایی و برآورد احتمالات وقوع انواع یخیندان‌ها استفاده شد. در مطالعات مربوط به شناسایی نوع یخیندان به روش آماری از آستانه‌های تقریباً ثابت برخی عوامل هوشناسی استفاده می‌شود. به کمک این آستانه‌ها، الگوریتم منعکس شده در شکل (۲) برای شناسایی و تمایز یخیندان‌های تابشی و فرارفتشی طراحی و مورد استفاده قرار گرفت. واحد زمانی شناسایی نوع یخیندان در این الگوریتم، سه ساعتی است و فرض می‌شود در هر واحد زمانی تنها یک نوع خاص از یخیندان‌ها می‌تواند اتفاق افتد. با این فرض، الگوریتم مذکور با فراخوانی داده‌های دمای هوا (Tdry)، دمای نقطه شنبم (Tdew)، رطوبت نسبی (RH)، فشار بخار آب (vap)، و سرعت باد (ws) در ۸ ساعت از شبانه‌روز، یعنی ۰۰، ۰۳، ۰۶، ۰۹، ۱۲، ۱۵، ۱۸، ۲۱ آغاز می‌شود. سپس، چندین الگوی شرطی بر روی متغیرهای هوشناسی اجرا می‌شود. در ادامه، هر یک از شرط‌ها را با آستانه‌های معین  $C_0$  بیان می‌شوند. شرط ۱، دمای هوا را با آستانه‌های  $C_1=0$  مقایسه کنید. در اینجا،  $C_0=4^{\circ}\text{C}$  و  $C_1=0^{\circ}\text{C}$  اختیار شده است که به ترتیب معرف آستانه شروع سرمادگی در برخی محصولات کشاورزی و آستانه شروع یخیندان در مفهوم هوشناسی آن و بروز خسارت در تعداد زیادی از گیاهان است. چنان‌چه این دو شرط برقرار نباشند، واحد زمانی بعدی فراخوانی می‌شود. در غیر این صورت، برنامه وارد شرط ۲ می‌شود. شرط ۲، برقراری شرط ۱ به معنی وقوع یخیندان است. برای این که پدیده یخیندان به لحاظ کشاورزی خسارت‌زا باشد لازم است دمای نقطه شنبم  $C_0=4^{\circ}\text{C}$  و  $C_1=0^{\circ}\text{C}$  نیز کمتر از آستانه‌های باشد. در این شرایط بسته به اختلاف دمای هوا و دمای نقطه



شکل ۲- فلوچارت تعیین نوع یخندهان تابشی یا فرارفتی

### پهنه‌بندی ریسک وقوع یخندهان

بررسی‌های سه بعدی دما در گستره ایران نشان داده است که پارامترهای دمایی در ایران حسب طول جغرافیایی، عرض جغرافیایی و ارتفاع متغیر است (خلیلی، ۱۳۷۵). چون مقادیر ریسک وقوع یخندهان خود توابعی از دمای هوا می‌باشند طبیعی به نظر می‌رسد که این عوامل نیز تابع مختصات جغرافیایی باشند. برای پهنه‌بندی ریسک وقوع یخندهان یا تعیین نتایج، آنالیز همبستگی چند متغیره بین ریسک وقوع یخندهان از یک طرف و طول X، عرض Y و ارتفاع Z جغرافیایی ۵۱ ایستگاه مطالعاتی از طرف دیگر به فرم زیر مورد آزمون قرار گرفت.

$$y = a_0 + a_1 \text{Lat} + a_2 \text{Lon} + a_3 \text{Ele} + \epsilon \quad (2)$$

که در آن  $a_0$  تا  $a_3$  پارامترهای معادله، Lat عرض جغرافیایی، Lon طول جغرافیایی، Ele ارتفاع (بر حسب متر)،  $\epsilon$  مقدار خطای اختلاف مقادیر مشاهده شده و محاسبه شده و y شامل هشت متغیر وابسته که همان درصد فراوانی

اگر مقدار رطوبت نسبی هوا (RH) وجود داشته باشد می‌توان به کمک فشار بخار اشباع در دمای هوا، ابتدا مقدار فشار بخار واقعی (vap) را محاسبه کرد. سپس، دمایی که در آن دما فشار بخار اشباع با فشار بخار واقعی برابر می‌شود را تعیین نمود.

$$T_{\text{dew}} = \frac{116.91 + 237.3 \ln(\text{vap})}{16.78 - \ln(\text{vap})} \quad (1)$$

طبعیتاً وجود اطلاعاتی در زمینه وارونگی هوا در نقاط ایستگاهها امکان تصمیم‌گیری بهتر در تشخیص یخندهان‌های تابشی را فراهم می‌کند ولی به علت عدم دسترسی به این داده‌ها بررسی‌های دقیق‌تر در مورد یخندهان‌های تابشی امکان‌پذیر نبود. همچنین، این مطالعه یخندهان‌های تابشی امکان‌پذیر نبود. کل سال را از نظر پتانسیل وقوع یخندهان مورد توجه قرار داده است. دلیل این مسئله نیاز تحقیقاتی بیمه محصولات کشاورزی بود تا بتواند بهتر در مورد پتانسیل وقوع یخندهان نواحی مختلف تصمیم بگیرد.

چابهار و بندر عباس تقریباً در هیچ موقع از سال طی دوره آماری قبل دسترس، یخبدان اتفاق نیافتداده است. با توجه به شرایط اقلیمی خاص این مناطق (اقلیم گرم‌سیری) و ناچیز بودن ارتفاع آنها نسبت به سطح (کمتر از ۱۰ متر) مشاهده این وضع دور از انتظار نیست.

وقوع یخبدان‌های تابشی، فرارفتی، مختلط، و کل هر یک با دو آستانه دمایی صفر و ۴ درجه سلسیوس است. در نهایت و پس از تعیین قانونمندی ریسک وقوع یخبدان با مشخصات جغرافیایی مناطق، نقشه‌های ریسک وقوع یخبدان در محیط نرم‌افزار ArcGIS 9.3 تهیه گردید.

### پهنه‌بندی و تحلیل ریسک وقوع انواع یخبدان

به منظور تهیه میدان عددی ریسک وقوع یخبدان‌های تابشی، مختلط، فرارفتی و کل خسارت‌زا در گستره کشور، رابطه همبستگی آنها با مشخصات جغرافیایی ایستگاه‌ها (ارتفاع، طول جغرافیایی، عرض جغرافیایی) تعیین گردید. بررسی‌های آماری حاکی از وجود رابطه قوی هر یک از انواع سه‌گانه یخبدان و یخبدان کل با ارتفاع است، آن چنان که بخش زیادی از تغییرات ریسک توسط عامل ارتفاع تبیین می‌شود. عامل بعدی، عرض جغرافیایی است که اهمیت بیشتری نسبت به طول جغرافیایی دارد. روابط رگرسیونی سه بعدی معرف هر یک از یخبدان‌ها با دو آستانه ۴ و صفر درجه سلسیوس در جدول ۳ آورده شده است. با توجه به جدول ۲ مشاهده می‌شود که ضریب همبستگی یخبدان فرارفتی نسبت به دو نوع دیگر یخبدان کمتر است. به عبارت دیگر، یخبدان فرارفتی تأثیرپذیری کمتری از مشخصات جغرافیایی مناطق دارد. این نتیجه، علی القاعده صحیح است زیرا این نوع یخبدان بستگی به فراوانی ورود سیستم‌های جوی و گستره ریزش هوای سرد بر روی کشور دارد. چون اکثر سیستم‌های جوی از سمت شمال غرب و غرب به کشور وارد می‌شوند انتظار می‌رود در آن نواحی، ریسک وقوع یخبدان فرارفتی بیشتر باشد. بالعکس، یخبدان تابشی تابع شرایط وضع هوای محل است. بنابراین، انتظار می‌رود همبستگی آن با توپوگرافی مناطق بالاتر باشد. شکل‌های ۳ و ۴ نقشه‌های ریسک وقوع یخبدان‌های فرارفتی، تابشی، مختلط و کل را با دو آستانه خسارت ۴ و صفر درجه سلسیوس نشان می‌دهند. این نقشه‌ها پس از اعمال روابط رگرسیونی بدست آمده‌اند، تطابق خوبی با مشخصات جغرافیایی مناطق مختلف کشور دارند. شکل ۳ الف نشان می‌دهد که ریسک سرمای تابشی با آستانه ۴ درجه سلسیوس در پهنه کشور تا بیش از ۱۲ درصد می‌رسد.

### نتایج و بحث

#### تعیین انواع یخبدان و ارزیابی ریسک وقوع آنها در گستره کشور

به منظور تعیین نوع یخبدان در واحدهای زمانی سه ساعتی در هر یک از ایستگاه‌های تحت مطالعه، یک برنامه رایانه‌ای در محیط فرتون تهیه شد. این برنامه با فراخوانی فایل‌های مربوط به داده‌های وضع هوا، شرطهای موجود در الگوریتم (شکل ۲) را برای تعیین انواع یخبدان‌های تابشی، فرارفتی (جبهه‌ای)، مختلط و کل خسارت‌زا مورد بررسی قرار داده و احتمال وقوع آنها را تعیین می‌کند. نتایج حاصل از اجرای برنامه در جدول ۲ به ترتیب برای آستانه‌های دمایی ۴ و صفر درجه سلسیوس ارائه شده است. بیشترین احتمال وقوع یخبدان‌های خسارت‌زا تابشی با آستانه‌های دمایی ۴ و صفر درجه سلسیوس، به ترتیب، در ایستگاه‌های شهرکرد (۱۰/۶۲) و کوهنگ (۷/۲۳) (درصد) اتفاق افتاده است. بیشینه ریسک وقوع یخبدان‌های خسارت‌زا فرارفتی با آستانه‌های دمایی ۴ و صفر درجه سلسیوس، در ایستگاه اردبیل اتفاق افتاده است. احتمال وقوع یخبدان فرارفتی در این ایستگاه با آستانه دمایی ۴ درجه سلسیوس، ۷/۲۲ درصد و با آستانه دمایی صفر درجه سلسیوس، ۷/۰۷ درصد است. ایستگاه آعلی دارای حداقل احتمال وقوع یخبدان‌های خسارت‌زا مختلط در هر دو آستانه دمایی ۴ و صفر درجه سلسیوس است. درصد یخبدان مختلط در این ایستگاه با آستانه دمایی ۴ درجه سلسیوس، ۲۴/۳۲ درصد و با آستانه دمایی صفر درجه سلسیوس، ۱۵/۶۱ درصد است. حداقل احتمال فراوانی وقوع کل یخبدان‌های خسارت‌زا (تابشی + مختلط + فرارفتی) با آستانه‌های ۴ و صفر درجه سلسیوس در ایستگاه آعلی با مقادیر به ترتیب ۳۷/۰۴ و ۲۴/۳۷ درصد اتفاق افتاده است. در ایستگاه‌های بوشهر (ساحلی و دریایی)،

جدول ۲- احتمال وقوع یخیدان‌های تابشی قطعی و یخبدان‌های خسارت‌زا با آستانه‌های دمایی ۴ و ۰ درجه سلسیوس در استگاههای مطلاعاتی

آستانه دمایی										ایستگاه
یخیندان خسارت زای کل (%)		یخیندان مختلط (%)		یخیندان فرارفتی (%)		یخیندان تابشی (%)				
°C	°C	°C	°C	°C	°C	°C	°C	°C	°C	آستانه دمایی
۸/۰۰	۱۷/۰۸	۲/۶۴	۷/۴۸	۰/۴۲	۱/۰۳	۴/۹۲	۸/۵۴	۰/۰۰	۰/۰۰	آباده
۲۴/۳۷	۳۷/۰۴	۱۵/۶۱	۲۴/۳۲	۳/۴۱	۵/۴۸	۵/۳۵	۷/۲۴	۰/۰۲	۰/۰۲	آبعلی
۰/۰۲	۰/۴۶	۰/۰۱	۰/۱۴	۰/۰۰	۰/۰۱	۰/۰۲	۰/۳۱	۰/۰۳	۰/۰۳	اهواز
۱۲/۴۰	۲۴/۱۲	۸/۴۸	۱۵/۱۹	۲/۴۸	۶/۶۲	۱/۴۴	۲/۳۱	۰/۰۰	۰/۰۰	الیگودرز
۱۲/۱۸	۲۲/۵۵	۷/۶۹	۱۴/۳۲	۰/۴۹	۱/۳۷	۴/۰۰	۶/۸۶	۰/۰۰	۰/۰۰	اراک
۱۹/۳۰	۳۰/۹۱	۱۱/۱۰	۱۷/۸۳	۴/۰۷	۷/۲۲	۴/۱۳	۵/۸۶	۰/۰۰	۰/۰۰	اردبیل
۰/۳۸	۳/۸۲	۰/۱۰	۱/۴۹	۰/۰۲	۰/۲۶	۰/۲۶	۲/۰۷	۰/۰۰	۰/۰۰	بابلسر
۰/۰۰	۰/۰۰	۰/۰۰	۰/۰۰	۰/۰۰	۰/۰۰	۰/۰۰	۰/۰۰	۰/۰۰	۰/۰۰	بندر عباس
۰/۳۱	۳/۸۱	۰/۱۲	۱/۷۰	۰/۰۷	۱/۲۰	۰/۱۲	۰/۹۱	۰/۰۰	۰/۰۰	بندر انزلی
۶/۳۶	۱۴/۱۲	۱/۶۴	۵/۱۶	۰/۲۶	۱/۰۸	۴/۴۶	۷/۸۸	۰/۰۰	۰/۰۰	بیرون چند
۱۱/۵۲	۲۲/۹۰	۵/۵۷	۱۲/۷۲	۱/۷۶	۴/۱۹	۴/۱۹	۶/۹۹	۰/۰۰	۰/۰۰	بحنورد
۱۳/۴۸	۲۴/۸۵	۷/۰۰	۱۳/۲۶	۱/۰۰	۳/۵۱	۵/۴۸	۸/۰۸	۰/۰۰	۰/۰۰	بروجن
۷/۵۴	۱۷/۶۶	۳/۹۲	۸/۹۳	۱/۲۷	۴/۴۴	۲/۳۵	۴/۲۹	۰/۰۰	۰/۰۰	بروجرد
۰/۰۰	۰/۰۴	۰/۰۰	۰/۰۲	۰/۰۰	۰/۰۰	۰/۰۰	۰/۰۲	۰/۰۰	۰/۰۰	بوشهر
۰/۰۰	۰/۰۰	۰/۰۰	۰/۰۰	۰/۰۰	۰/۰۰	۰/۰۰	۰/۰۰	۰/۰۰	۰/۰۰	بوشهر(دریایی)
۰/۰۰	۰/۰۰	۰/۰۰	۰/۰۰	۰/۰۰	۰/۰۰	۰/۰۰	۰/۰۰	۰/۰۰	۰/۰۰	چابهار
۰/۱۲	۱/۴۶	۰/۰۱	۰/۲۵	۰/۰۰	۰/۰۱	۰/۱۱	۱/۲۰	۰/۰۰	۰/۰۰	دزفول
۶/۰۹	۱۴/۷۸	۲/۲۰	۶/۹۷	۰/۱۶	۰/۵۴	۳/۷۳	۷/۳۷	۰/۰۰	۰/۰۰	اصفهان
۱۰/۱۶	۲۱/۶۲	۴/۹۳	۱۱/۹۴	۰/۵۵	۱/۷۴	۴/۶۸	۷/۹۴	۰/۰۰	۰/۰۰	اسلام آباد غرب
۱۱/۰۰	۲۱/۵۶	۶/۳۰	۱۳/۳۷	۰/۸۰	۲/۱۲	۳/۹۰	۶/۰۷	۰/۰۰	۰/۰۰	قزوین

ادامه جدول ۲- احتمال وقوع یخیندان‌های تابشی قطعی و یخیندان‌های دمایی ۴ و ۰ درجه سلسیوس در ایستگاه‌های مطالعاتی

آستانه دمایی	ایستگاه								
	یخیندان خسارت زای کل (%)	یخیندان فرارفتی (%)	یخیندان مختلط (%)	یخیندان تابشی (%)	آستانه دمایی				
قم	۵/۱۸	۲/۴۷	۰/۷۹	۰/۱۹	۶/۴۷	۱/۹۶	۱۲/۴۴	۴/۶۲	۰°C
ایلام	۵/۱۳	۱/۸۵	۱/۰۷	۰/۱۵	۶/۱۵	۱/۳۲	۱۲/۲۵	۳/۳۲	۴°C
جلفا	۶/۴۵	۴/۳۹	۳/۰۷	۱/۴۷	۱۳/۳۷	۶/۹۰	۲۲/۸۹	۱۲/۷۶	۰°C
کنگاور	۸/۲۰	۵/۱۵	۲/۱۹	۰/۵۹	۱۲/۵۱	۵/۸۳	۲۲/۹۰	۱۱/۵۷	۴°C
کاشان	۴/۱۷	۱/۵۶	۰/۷۰	۰/۰۱	۴/۶۶	۱/۲۱	۹/۵۳	۲/۷۸	۰°C
کرمان	۵/۶۵	۳/۴۱	۱/۱۲	۰/۳۲	۵/۲۶	۱/۸۹	۱۲/۰۳	۵/۶۲	۴°C
کرمانشاه	۶/۷۵	۴/۰۳	۲/۸۹	۰/۸۰	۹/۴۴	۴/۰۲	۱۹/۰۸	۸/۸۵	۰°C
خرم آباد	۵/۰۶	۲/۱۸	۰/۷۰	۰/۱۱	۶/۰۵	۱/۴۰	۱۱/۸۱	۳/۶۹	۴°C
خرم دره	۵/۵۰	۳/۳۹	۵/۳۷	۲/۷۷	۱۵/۷۹	۸/۰۴	۲۶/۶۶	۱۴/۷۰	۰°C

جدول ۳- معادلات رگرسیونی یخیندان تابشی، فرارفتی، مختلط و خسارت‌زای کل با مشخصات جغرافیایی ایستگاه‌ها

بارامتر	آستانه دمایی (°C)	معادله	ضریب همبستگی
درصد یخیندان تابشی	۴	$T4Rad = -8.59 + 0.214 \text{Lat} + 0.0556 \text{Lon} + 0.00307 \text{Ele}$	۰/۸۳**
صفر	۰	$T0Rad = -4.09 + 0.125 \text{Lat} + 0.0047 \text{Lon} + 0.00221 \text{Ele}$	۰/۸۲**
درصد یخیندان	۴	$T4Adv = -6.31 + 0.260 \text{Lat} - 0.0402 \text{Lon} + 0.00145 \text{Ele}$	۰/۷۰*
فارافتی	۰	$T0Adv = -4.08 + 0.140 \text{Lat} - 0.0112 \text{Lon} + 0.00062 \text{Ele}$	۰/۶۴*
درصد یخیندان	۴	$T4Mix = -17.0 + 0.887 \text{Lat} - 0.211 \text{Lon} + 0.00605 \text{Ele}$	۰/۸۹**
صفر	۰	$T0Mix = -5.92 + 0.463 \text{Lat} - 0.181 \text{Lon} + 0.00342 \text{Ele}$	۰/۸۱**
مختلط	۰	$T4Tot = -31.9 + 1.36 \text{Lat} - 0.196 \text{Lon} + 0.0106 \text{Ele}$	۰/۹۲**
درصد یخیندان	۴	$T0Tot = -14.1 + 0.729 \text{Lat} - 0.188 \text{Lon} + 0.00625 \text{Ele}$	۰/۸۵**
خسارت‌زای کل	۰		

عرض جغرافیایی (درجه)، Lat طول جغرافیایی (درجه)، Lon ارتفاع (متر)، Ele ارتفاع (متر). \*\* معنی دار در سطح ۵ و یک درصد.

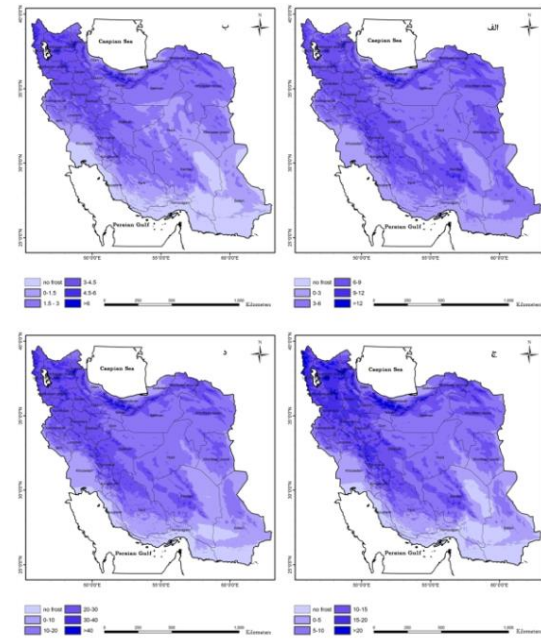
سیستان و بلوچستان و بخش‌های پراکنده‌ای از استان فارس دارای ریسک سرمای تابشی کمتر از ۳ درصد هستند. فراوانی نسبی وقوع سرماهای تابشی با آستانه ۴ درجه سلسیوس در نواحی شمال غربی کشور، سلسله جبال البرز و زاگرس و نواحی کوهستانی خراسان بزرگ و کرمان، و استان

این نوع سرما به طور کلی در تمام بخش‌های کشور اتفاق می‌افتد و هیچ نقطه‌ای از کشور از وقوع آن در امان نیست. بخش‌های جنوبی کشور، شامل نواحی کم ارتفاع استان خوزستان، تقریباً تمام استان بوشهر، بخش اعظم استان هرمزگان، نیمه شرقی استان کرمان، بخش‌های جنوبی استان

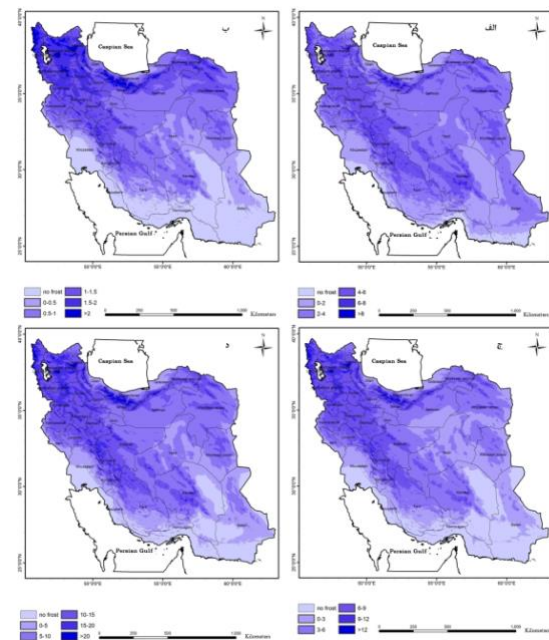
اماًند. در استان‌های سیستان و بلوچستان، خراسان جنوبی، یزد، سمنان، خوزستان، فارس، کرمان، ایلام، کرمانشاه، و قم احتمال وقوع سرما به کمتر از ۳۰ درصد و در سایر استان‌های احتمال وقوع سرما به ۴۰ درصد هم می‌رسد. استان‌های شمال غربی کشور با ریسک وقوع بیش از ۳۰ درصد درگیر سرما می‌باشند. مساحی نقشه نشان داد که ۷/۷ درصد مساحت کشور، فاقد ریسک سرماهای زیان‌بخش، ۲۲/۲ درصد، ریسک کمتر از ۱۰ درصد، ریسک ۱۰ تا ۲۰ درصد، ریسک ۲۶/۲ درصد، ریسک ۲۰ تا ۳۰ درصد، ریسک بیش از ۴/۷ درصد، ریسک ۳۰ تا ۴۰ درصد و ۰/۳ درصد، ریسک بیش از ۴۰ درصد را دارند. نکته قابل توجه در مورد آستانه صفر درجه سلسیوس آن است که ریسک وقوع انواع یخ‌بندان در این آستانه کمتر از آستانه ۴ درجه سلسیوس است. به طوری که در شکل ۴ الف نشان داده شده است، نوار باریکی از سواحل جنوبی کشور فاقد یخ‌بندان تابشی با دمای کمتر از صفر درجه سلسیوس است. این در حالی است که در مورد آستانه ۴ درجه سلسیوس مشخص شد که در این نواحی امکان وقوع سرماهای تابشی کمتر از ۴ درجه سلسیوس وجود دارد. با حرکت به سمت نواحی مرتفع و کوهستانی و عرض‌های بالاتر، ریسک وقوع یخ‌بندان تابشی نیز افزایش می‌یابد. در قلل مرتفع کوهستان‌ها، اندازه ریسک به بیش از ۸ درصد می‌رسد. بر خلاف سواحل جنوبی، در سواحل شمالی کشور امکان وقوع یخ‌بندان‌های تابشی همواره وجود دارد و هیچگاه صفر نیست. بخش‌هایی از استان‌های خوزستان، فارس، بوشهر، هرمزگان، کرمان و سیستان و بلوچستان ریسک وقوع تا ۲ درصد را تجربه می‌کنند. در بیابان‌های ایران مرکزی، مقدار ریسک به ۴ درصد هم می‌رسد. به تدریج با حرکت در دامنه‌های البرز و زاگرس و در نواحی شمال‌غربی کشور، مقدار ریسک افزایش یافته و به ۸ درصد و بیشتر می‌رسد. مساحی نقشه نشان داد که ۲۲/۵ درصد مساحت کشور، فاقد ریسک یخ‌بندان تابشی، ریسک ۲ تا ۴ درصد، ریسک کمتر از ۲ درصد، ریسک ۴۵/۰ درصد، ریسک درصد کشور، ریسک کمتر از ۲ درصد، ریسک ۲/۷ درصد، ریسک ۶ تا ۸ درصد و ۰/۱ درصد، ریسک بیش از ۸ درصد را دارند.

فارس به بیش از ۹ درصد می‌رسد. مساحی نقشه نشان داد که ۱۹/۲ درصد کشور، ریسک کمتر از ۳ درصد، ۴۲/۵ درصد، ریسک ۳ تا ۶ درصد، ریسک ۳۴/۲ درصد، ریسک ۶ تا ۹ درصد، ریسک ۳/۹ درصد، ریسک ۹ تا ۱۲ درصد و ۰/۲ درصد، ریسک بیش از ۱۲ درصد را دارند. با وجود آن که امکان عبور سیستم‌های فشاری (کم فشار یا پرفشار) از قسمت‌های مختلف کشور وجود دارد اما ارزیابی کلی نقشه‌های ریسک وقوع سرمای فرارفتی با آستانه ۴ درجه سلسیوس (شکل ۳ ب) نشان می‌دهد که دمای هوا در بخش‌های جنوبی، جنوب غربی و جنوب شرقی هیچگاه به زیر ۴ درجه سلسیوس نمی‌رسد. مقایسه این نقشه با نقشه سرمای تابشی حاکی از آن است که ماکریم ریسک سرمای فرارفتی که نواحی بسیار مرتفع را در گستره کشور در بر می‌گیرد، نصف سرمای تابشی است. مساحی نقشه نشان داد که ۱۷/۲ درصد کشور، فاقد ریسک سرماهای فرارفتی، ۶۰ درصد، ریسک کمتر از ۳ درصد، ریسک ۲۲/۶ درصد، ریسک ۳ تا ۶ درصد، و ۰/۱ درصد، ریسک بیش از ۶ درصد را دارند. بررسی نقشه ریسک سرما مختلط با آستانه ۴ درجه سلسیوس (شکل ۳ ج) نشان می‌دهد که پتانسیل وقوع این نوع سرمای در گستره کشور بیش از سرماهای فرارفتی و تابشی است به طوری که فراوانی وقوع این نوع سرمای به بیش از ۲۰ درصد می‌رسد. وسعت منطقه بدون سرما (No Frost) در این نوع سرما در مقایسه با سرماهای مجازی تابشی و فرارفتی کاهش یافته و بخش‌های کمی از نواحی جنوب غربی و جنوب شرقی را شامل می‌شود. مساحی نقشه نشان داد که ۱۲/۵ درصد مساحت کشور، فاقد ریسک سرماهای مختلط، ۱۸/۰ درصد کشور، ریسک کمتر از ۵ درصد، ریسک ۳۲/۸ درصد، ریسک ۵ تا ۱۰ درصد، ریسک ۲۳/۶ درصد، ریسک ۱۰ تا ۱۵ درصد، ریسک ۱۱/۴ درصد، ریسک ۱۵ تا ۲۰ درصد و ۱/۷ درصد، ریسک بیش از ۲۰ درصد را دارند. بررسی عینی نقشه شکل ۳ د نشان می‌دهد که درصد کل سرماهای خسارت‌زا در گستره کشور به بیش از ۴۰ درصد می‌رسد که مربوط به نواحی مرتفع و قلل کوهستانی (مناطق کشاورزی) است. بدون توجه به نوع سرما، تنها بخش باریکی از سواحل خلیج فارس و دریای عمان در استان‌های بوشهر، خوزستان، هرمزگان و سیستان و بلوچستان از خسارت سرماهای زیر ۴ درجه سلسیوس در

این نوع یخ‌بندان در اکثر نواحی جنوبی کشور وجود ندارد (عویض شدن باند No Frost روی نقشه مؤید این مطلب است). بیشینه عبور امواج خسارتزا در کشور مقداری معادل ۲ درصد دارد که بخش اعظم آن در شمال‌غربی و غربی کشور و همچنین نوار کوهستانی البرز مربوط می‌شود. مقایسه این نقشه با نقشه ۳ ب نشان داد که تغییر آستانه از ۴ به صفر سبب می‌شود احتمال وقوع یخ‌بندان به یک سوم کاهش یابد. مساحتی نقشه نشان داد که ۲۳/۱ درصد مساحت کشور، فاقد ریسک یخ‌بندان فرارفتی، ۱۴/۴ درصد کشور، ریسک کمتر از ۵/۰ درصد، ریسک ۳۰/۳ درصد، ریسک ۰/۵ تا ۱ درصد، ریسک ۲۰/۷ درصد، ریسک ۱ تا ۱/۵ درصد، ریسک ۹/۶ درصد، ریسک ۱/۵ تا ۲ درصد و ۱/۹ درصد، ریسک بیش از ۲ درصد را دارند. بررسی نقشه شکل ۴ ج نشان می‌دهد که یخ‌بندان‌های مختلف با آستانه صفر درجه سلسیوس اولاً، ریسک کمتری نسبت به آستانه ۴ درجه سلسیوس دارند. ثانیاً، ریسک وقوع آنها از یخ‌بندان‌های مجازی تابشی و فرارفتی بیشتر است. حداکثر احتمال وقوع یخ‌بندان مختلف به ۱۲ درصد می‌رسد که در نواحی مرتفع دیده می‌شود. باند عریضی نیز در جنوب کشور وجود دارد که فاقد یخ‌بندان مختلف است. مساحتی نقشه نشان داد که ۱۸/۹ درصد مساحت کشور، فاقد ریسک یخ‌بندان مختلف، ۲۴/۹ درصد کشور، ریسک کمتر از ۳ درصد، ریسک ۳۰/۸ درصد، ریسک ۳ تا ۶ درصد، ریسک ۱۹/۹ درصد، ریسک ۶ تا ۹ درصد، ریسک ۵/۰ درصد، ریسک ۹ تا ۱۲ درصد و ۰/۵ درصد، ریسک بیش از ۱۲ درصد را دارند. با در نظر گرفتن آستانه دمایی صفر درجه سلسیوس به عنوان آستانه خسارتزا برای محصول، احتمال وقوع یخ‌بندان از ۴۰ درصد (در مورد آستانه ۴ درجه سلسیوس) به ۲۰ درصد کاهش می‌یابد. در نواحی خشک مرکزی ایران، مقدار ریسک تا ۱۰ درصد می‌رسد. در دامنه منتهی به نواحی کوهستانی و مرتفع کشور مقدار شاخص ریسک به ۱۵ درصد و در قلل مرتفع کشور به ۲۰ درصد و بیشتر می‌رسد. مساحتی نقشه نشان داد که ۱۴/۱ درصد مساحت کشور، فاقد ریسک یخ‌بندان، ۲۰/۰ درصد کشور، ریسک کمتر از ۵ درصد، ریسک ۳۳/۹ درصد، ریسک ۵ تا ۱۰ درصد، ریسک ۲۳/۴ درصد، ریسک ۱۰ تا ۱۵ درصد، ریسک ۷/۶ درصد،



شکل ۳- نقشه پهنه‌بندی ریسک (الف) یخ‌بندان تابشی، (ب) یخ‌بندان فرارفتی، (ج) یخ‌بندان مختلف و (د) یخ‌بندان کل با آستانه ۴ درجه سلسیوس در گستره کشور



شکل ۴- نقشه پهنه‌بندی ریسک (الف) یخ‌بندان تابشی، (ب) یخ‌بندان فرارفتی، (ج) یخ‌بندان مختلف و (د) یخ‌بندان کل با آستانه ۰ درجه سلسیوس در گستره کشور

با ترسیم نقشه ریسک یخ‌بندان فرارفتی با آستانه صفر درجه سلسیوس (شکل ۴ ب) مشخص شد که پتانسیل وقوع

## منابع

- خلیلی، ع. ۱۳۷۵. تغییرات سه بعدی میانگین‌های درازمدت سالانه دمای هوا در گستره ایران. نیوار، زمستان، ۳۲: ۱۵-۲۴.
- خلیلی، ع. ۱۳۸۶. طرح ملی پنهان‌بندی هواشناسی کشاورزی ایران جهت بیمه در برابر خطرات خشکسالی، یخ‌بندان و باران‌های سیل آسا. صندوق بیمه محصولات کشاورزی، تهران.
- سمیعی، م. عسگری، م. باستانی، خ. ۱۳۷۶. شروع و خاتمه یخ‌بندان در ایران. سازمان هواشناسی کشور، تهران.
- صدقی، ح. ۱۳۷۸. نگرشی بر نحوه انجام مطالعات کاهش ضایعات ناشی از سرمادگی محصولات کشاورزی، مجموعه مقالات کارگاه آموزشی سرما و بخ زدگی محصولات کشاورزی، سازمان حفظ نباتات وزارت کشاورزی.
- ضیایی، ع. کامگار حقیقی، ع. سپاسخواه، ع. رنجبر، س. ۱۳۸۵، تعیین اطلاع احتمال وقوع کمینه دمای استان فارس با استفاده از آمار هواشناسی. مجله علوم و فنون کشاورزی و منابع طبیعی، ۱۰(۳): ۲۷-۱۳.
- علیزاده، ا. موسوی بایگی، م. کمالی، غ.ع. ۱۳۷۳. تاریخ وقوع اولین یخ‌بندان‌های پاییزه و آخرین یخ‌بندان‌های بهاره در خراسان. مجله نیوار، ۲۴: ۳۸-۵۶.
- کمالی، غ.ع. حبیبی نوختن، م. ۱۳۸۴. بررسی توزیع مکانی و زمانی یخ‌بندان در ایران و نقش آن در حمل و نقل جاده‌ای. پژوهشنامه حمل و نقل تابستان، ۲(۲): ۱۲۷-۱۳۵.
- کمالی، غ.ع. ۱۳۸۰. بررسی سرماهای زیان‌بخش به کشاورزی ایران و تهیه اطلاع اقلیمی آن. گزارش نهایی طرح پژوهشی، سازمان هواشناسی کشور.
- هاشمی، ف. ۱۳۴۸. تجزیه و تحلیل استاتیستیکی از سرمای تهران، سازمان هواشناسی کشور.
- Ahrens, C.D., 2009. Meteorology today. Brooks/Cole, Gengage learning.
- Caprio, J.M., 1961. A Rational Approach to the Mapping of Freeze Dates. Bull. Amer. Meteorol. 13: 339-348.

ریسک ۱۵ تا ۲۰ درصد و ۱/۰ درصد، ریسک بیش از ۲۰ درصد را دارند.

## نتیجه‌گیری

در این پژوهش، ابتدا با تدوین یک الگوریتم سلسله مراتبی و سپس بر اساس معادلات حاصل، امکان برآورد ریسک یخ‌بندان‌های تابشی و فرارفتی در گستره کشور از روی داده‌های دمای هوا، دمای نقطه شبنم، رطوبت نسبی، فشار بخار آب، ابرناکی، و سرعت باد به دست آمده از ۵۱ ایستگاه هواشناسی در هر نقطه از کشور فراهم گردید. عده نتایج بدست آمده از تحقیق عبارتند از:

- مشخص شد که ارتباط نسبتاً قوی بین انواع یخ‌بندان‌ها و مشخصات جغرافیایی ایستگاه‌ها وجود دارد به طوری که ضریب همبستگی آن‌ها در برخی مواقع به ۰/۹ یا بیشتر می‌رسد. وجود این رابطه سبب شد تا با دقت نسبتاً قابل قبولی نقشه‌های یخ‌بندان برای گستره کشور تهیه شود.
- نتیجه این مطالعه، آماده سازی نقشه‌های ریسک وقوع یخ‌بندان و سرماهای زیان‌بخش است که می‌تواند برای انواع محصولات کشاورزی حساس به سرما (دمای زیر ۴ درجه سلسیوس) و یخ‌بندان (دمای زیر صفر درجه سلسیوس) مورد استفاده قرار گیرد.
- مناطق شمال‌غربی کشور در مقایسه با سایر نواحی کشور استعداد بیشتری به وقوع و خسارت انواع مختلف یخ‌بندان دارند. این در حالی است که در نواحی کم ارتفاع و عرض‌های پایین کشور، پتانسیل وقوع یخ‌بندان کمتر است.

## سپاسگزاری

این مقاله دستاورد طرح تحقیقاتی "تحلیل و پنهان‌بندی ریسک وقوع سرماهای تشعشعی و جبهه‌ای در گستره ایران" است که با حمایت مالی صندوق بیمه محصولات کشاورزی به شماره مصوب ۱۸/۹۰۲/۵۲۴۵ ۰۱۸/۹۰۲/۵۲۴۵ انجام شده است و بدینوسیله تشکر و قدردانی می‌شود.

- Schmidlin, T.W., Dethier, B.C., 1986. A statistical analysis of Freeze hazard in New York State. *Phys. Geogr.*, 7(3): 246- 257.
- Tait, A., Zheng, X., 2003. Mapping frost occurrence using satellite data. *J. Appl. Meteorol.*, 42(2): 193-203.
- Thom, H.C., Show, R.H., 1958. Climatological analysis of freeze data for Iowa, *Mon. Weather Rev.*, 86: 251-257.
- Trasimonte, G., Chavez, R., Segura, B., Rosales, J.L., 2008. Frost risks in the Mantaro river basin. *Adv. Geosci.*, 14(14): 265-270.
- Trewartha, G. T., 1954. An Introduction to Climate. McGraw-Hill, New York, N.Y., 402 pp.
- Waylen, P.R., 1988. Statistical Analysis of Freezing Temperatures in Central and Southern Florida, *J. Climatol.*, 8: 607-628.
- Esterling, D.R., 2002. Recent changes in frost days and the forest in the united stated, *BULL. Am. Meteorol. Soc.*, 83: 1327-1332.
- François, C., Bosseno, R., Vacher, J. J., Seguin, B., 1999. Frost risk mapping derived from satellite and surface data over the Bolivian Altiplano. *Agr. Forest. Meteorol.* 95(2): 113-137.
- Hewett, E. W., 1973. Preventing Frost Damage to Fruit Trees. 2d ed. Department of Scientific and Industrial Research Information Series, 86, DSIR, 55 pp.
- Kalma, J.D., Laughlin, G.P., Caprio, J.M., Hamer, P.J.C., 1992. Advances in Bioclimatology, 2. The Bioclimatology of Frost. Springer-Verlag Pub., Berlin.
- Rozenberg, N.J., Myers, R.E., 1962. The nature of growing season frost in and along the Platte valley of Nebraska. *Mon. Weather Rev.*, 11: 471-478.

## Radiation, Advection and Mixed Freezing and Frost Risk Assessment and Zoning in Iran

J. Bazrafshan<sup>1\*</sup>, J. Rahimi<sup>2</sup>

Received: 02/11/2013

Accepted: 20/08/2014

### Abstract

Each year, frost causes extensive damage to all aspects of agricultural production. Therefore, quantification of frost risk occurrence is one of the most important factors in implementing agricultural insurance policies. In this study, a hierarchical algorithm for detecting advection and radiation frost has been presented using data of a network consisting of 51 meteorological stations of Iran during the period 1951-2009. Using 3-hours interval data, the percentage of the frost events occurrence were determined and categorized into three frost classes (i.e. advection, radiation and mixed frost). These occurrence percentages, known as frost risk, were further analyzed according to their geographical characteristics (latitude, longitude and altitude). Finally, frost risk map of Iran was generated. Analysis of frost risk maps showed that occurrence risk of radiation and mixed frost are more than advection frost across the country. Besides, it was found that the maximum values of risk for radiation frost with the threshold temperatures of 4 and 0 °C are 10.62% (Shahrekord station) and 7.23% (Koohrang station). Corresponding values for advection frost are 7.22% and 4.07% respectively, both observed in Ardebil station.

**Keywords:** Advection Frost, Radiation Frost, Risk Quantification, Iran

<sup>1</sup> Assistant Professor (Corresponding Author), Dept. of Irrigation and Reclamation Engineering, Univ. of Tehran, Karaj 31587-77871, Iran

<sup>2</sup> Ph.D. Student, Dept. of Irrigation and Reclamation Engineering, Univ. of Tehran, Karaj 31587-77871, Iran.

(\*Corresponding author email address: jbazr@ut.ac.ir)